

# Узкополосный брэгговский фильтр на длину волны 1.5 мкм на основе полимерного волновода с лазерно-индуцированной решеткой показателя преломления

**В.И.Соколов, В.Я.Панченко, В.Н.Семиногов**

*Созданы узкополосные частотно-селективные фильтры для телекоммуникационного диапазона длин волн вблизи 1.5 мкм, включающие одномодовый полимерный волновод, в котором с помощью гелий-кадмийового лазера записана субмикронная брэгговская решетка показателя преломления. Фильтры имеют коэффициент отражения R > 98 % и близкую к прямоугольной форму полосы отражения с шириной Δλ ≈ 0.4 нм. Они могут использоваться в качестве элементов оптических мультиплексоров/демультиплексоров для объединения и разделения сигналов в высокоскоростных волоконно-оптических линиях связи с многоволновым уплотнением каналов.*

**Ключевые слова:** узкополосные брэгговские фильтры, полимерные волноводы, субмикронные решетки, мультиплексоры/демультиплексоры.

## 1. Введение

Узкополосные брэгговские фильтры для телекоммуникационного диапазона длин волн вблизи  $\lambda \approx 1.5$  мкм привлекают внимание исследователей, поскольку они могут использоваться для разделения и объединения сигналов в высокоскоростных волоконно-оптических линиях связи (ВОЛС) с многоволновым уплотнением каналов. Различают фильтры на основе рельефных решеток и решеток показателя преломления. В первом случае рельефная решетка формируется на границе раздела между световедущей сердцевиной и оболочкой световода. Таким методом были изготовлены, например, брэгговские фильтры на основе кварцевых волокон с боковой полировкой [1–5], а также на основе волноводов из полупроводниковых материалов [6]. Во втором случае субмикронная решетка показателя преломления формируется в самой световедущей сердцевине [7–13].

Принцип действия брэгговских фильтров состоит в том, что электромагнитная мода, идущая по световоду, взаимодействует с решеткой и отражается в направлении, противоположном направлению распространения моды. При этом брэгговская длина волны, соответствующая центру полосы отражения,  $\lambda_{Br} = 2dn_{eff}$ , где  $d$  – период решетки;  $n_{eff}$  – эффективный показатель преломления моды в области решетки [14].

Целью данной работы явилось создание узкополосных фильтров для  $\lambda_{Br} \approx 1.5$  мкм на основе одномодовых полимерных волноводов с субмикронной решеткой показателя преломления. Для создания волноводов использовались галогенированные мономеры, обладающие повышенной оптической прозрачностью в этом спектральном диапазоне.

**В.И.Соколов, В.Я.Панченко, В.Н.Семиногов.** Институт проблем лазерных и информационных технологий РАН, Россия, Московская обл., 142190 Троицк, ул. Пионерская, 2; e-mail: visokol@rambler.ru, panch@laser.ru

Поступила в редакцию 12 мая 2010 г.

## 2. Формирование массива одномодовых полимерных волноводов с использованием галогенированных мономеров

В настоящее время фтор- и хлорсодержащие полимерные материалы все более широко используются для формирования волноводов в интегрально-оптических устройствах передачи и обработки информации благодаря их высоким функциональным возможностям и технологичности [11, 13]. В отличие от обычных углеводородных полимеров, они обладают более низким поглощением во всех трех телекоммуникационных областях длин волн вблизи 0.85, 1.3 и 1.55 мкм. Это обусловлено тем, что положения обертона валентных колебаний C–F и C–Cl связей сдвинуты в сторону больших длин волн по сравнению с положениями соответствующих обертонов связи C–H, ответственных за поглощение в вышеуказанных спектральных областях [15, 16]. Кроме того, фторполимеры обладают весьма низким показателем преломления  $n$ , даже ниже 1.33. Это позволяет путем сополимеризации фторсодержащих мономеров с хлорсодержащими мономерами, имеющими высокие значения  $n$ , варьировать показатель преломления композиции в широких пределах. Наконец, фторсодержащие полимеры имеют более высокую термостабильность и менее склонны к пожелтению, т. к. энергия C–F связи больше, чем энергия связи C–H.

Для создания волноводов использовались следующие акриловые мономеры: фторсодержащий бифункционал  $\text{CH}_2=\text{CH}-\text{COO}-\text{CH}_2-(\text{CF}_2)_6-\text{CH}_2-\text{COO}-\text{CH}=\text{CH}_2$  с показателем преломления  $n_D = 1.373$  на длине волны  $\lambda_D = 589.3$  нм и хлорсодержащий монофункционал  $\text{CH}_2=\text{CH}-\text{COO}-\text{CH}_2-\text{CCl}_3$  с  $n_D = 1.459$ . Данные мономеры хорошо растворяются друг в друге и сополимеризуются. Для инициирования реакции радикальной фотополимеризации в композиции для световедущей сердцевины и оболочки волновода добавлялся фотоинициатор типа Dагосуре в концентрации 0.8 %–1 %.

Одномодовые полимерные волноводы были изготовлены на кремниевой подложке методом контактной

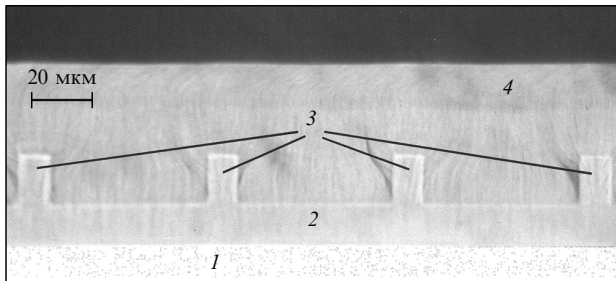


Рис.1. Массив одномодовых полимерных волноводов, сформированных методом контактной фотолитографии:  
1 – кремниевая подложка; 2 – полимерный буферный слой; 3 – световедущие жилы; 4 – покровный полимерный слой.

фотолитографии [17]. Сначала на подложке был создан полимерный буферный слой с более низким показателем преломления  $n_1$  толщиной около 14 мкм. На буферном слое, путем УФ освещения через фотошаблон композиции с показателем преломления  $n_2 > n_1$ , был сформирован массив световедущих жил с шириной 8 мкм и высотой 10 мкм. Затем жилы были закрыты покровным полимерным слоем с показателем преломления  $n_1$ . Фотография изготовленного массива волноводов дана на рис.1.

### 3. Лазерная запись субмикронных решеток показателя преломления в полимерных волноводах

Формирование решеток показателя преломления в полимерных волноводах проводилось путем освещения волновода излучением гелий-кадмийового лазера ( $\lambda = 325$  нм) через фазовую маску. Схема, иллюстрирующая принцип записи решетки, представлена на рис.2.

Фазовые маски были изготовлены из полимерного материала на кварцевой подложке методом репликации. В качестве мастер-модели использовалась решетка, сформированная на поверхности фосфида индия методом прямого лазерно-индукционного жидкофазного тра-

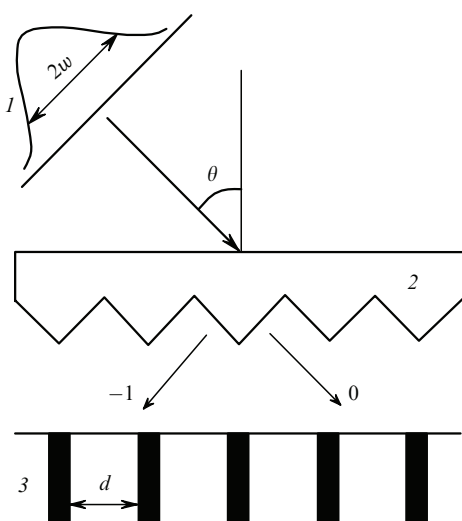


Рис.2. Схема, иллюстрирующая принцип записи решетки показателя преломления в полимерном волноводе:  
1 – пучок Не–Cd-лазера диаметром  $2w$ ; 2 – фазовая маска; 3 – решетка показателя преломления с периодом  $d$ , записываемая в волноводе интерференцией дифрагировавших пучков нулевого (0) и минус первого (−1) порядков;  $\theta$  – угол падения.

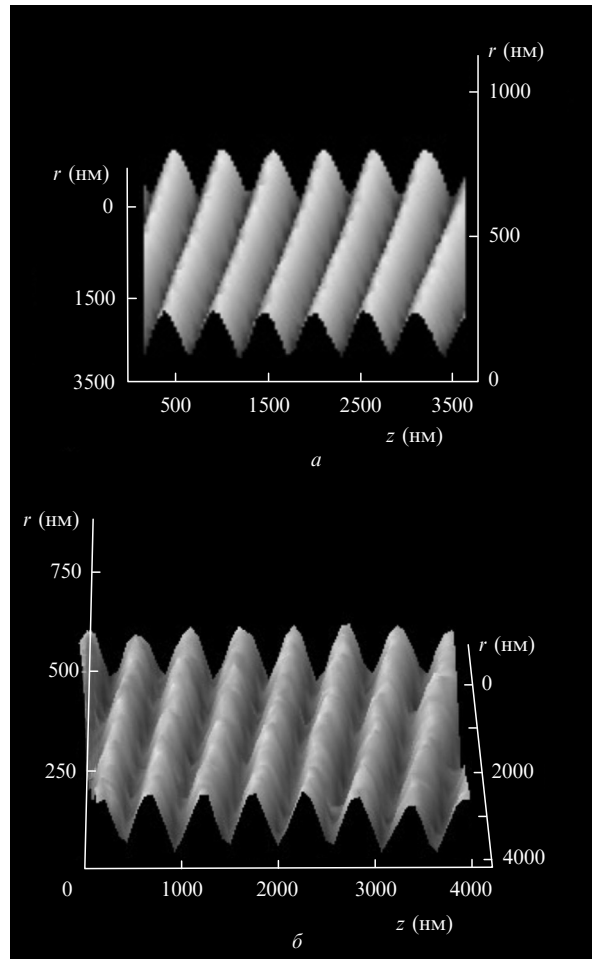


Рис.3. Фотографии мастер-решетки на InP (а) и ее полимерной реплики (б), полученные на атомно-силовом микроскопе.

вления [17, 18]. Решетка имела период  $d \approx 0.53$  мкм, амплитуду 0.16 мкм и треугольную форму зубцов (рис.3,а). На рис.3,б показана фотография полимерной реплики от этой решетки, полученной УФ освещением жидкой композиции, находящейся в контакте с мастер-решеткой. Путем подбора показателя преломления композиции можно изменять  $n$  полимерной реплики и, следовательно, отношение интенсивностей дифрагировавших пучков первого и нулевого порядков.

Записанные в полимерных волноводах решетки стабильны во времени и не стираются при однородном освещении УФ излучением. Мы предполагаем, что физический механизм образования решетки включает лазерно-индукционную дополимеризацию остаточных непропреагировавших мономеров и вызванный этим массоперенос мономеров из темновых участков интерференционной картины в освещенные области. Это приводит к повышению показателя преломления в освещенных областях и его понижению в темновых участках, при этом средний показатель преломления в области решетки остается неизменным.

### 4. Спектры отражения и пропускания полимерных брэгговских фильтров

Для измерения спектральных характеристик фильтров использовался одночастотный перестраиваемый полупроводниковый лазер Newport 2010A. Эксперимента-

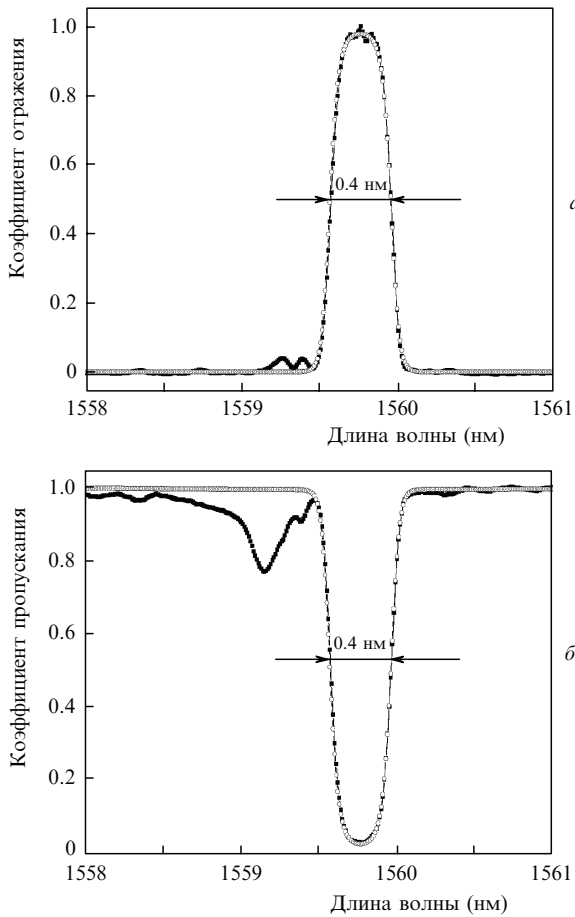


Рис.4. Экспериментально измеренные коэффициенты отражения  $R(\lambda)$  (а) и пропускания  $T(\lambda)$  (б) брэгговского фильтра (■), а также расчетные данные для  $R$  и  $T$ , полученные с использованием теории связанных волн (○).

льно измеренные спектры отражения и пропускания фильтра приведены на рис.4. Ширина полосы отражения фильтра  $\Delta\lambda$  по уровню 0.5 составляет 0.4 нм, коэффициент отражения  $R(\lambda)$  на брэгговской длине волны  $\lambda_{Br} = 1559.8$  нм превышает 98 %. Соответствующий провал в спектре пропускания  $T(\lambda)$  составляет также 0.4 нм, причем коэффициент пропускания при  $\lambda = \lambda_{Br}$  менее 2 %. Фильтр имеет близкую к прямоугольной (без боковых лепестков) форму полосы отражения. Это обусловлено аподизацией, т. е. плавным уменьшением коэффициента связи по мере удаления от центра решетки вследствие гауссового распределения интенсивности в пучке лазера. Отметим, что потери в пропускании при  $\lambda < \lambda_{Br}$ , связанные с рассеянием направляемой моды волновода в излучательные моды, незначительны. Это обусловлено тем, что под действием УФ лазерного излучения, прошедшего через фазовую маску, решетка показателя преломления формируется не только в сердцевине, но и в оболочке полимерного волновода.

Оценим амплитуду наведенного показателя преломления в брэгговской решетке. Для этого рассмотрим задачу о прохождении плоской электромагнитной волны  $E_i \exp(-i\omega t + ikn_0 z)$  с амплитудой  $E_i$  и частотой  $\omega$  ( $k = \omega/c = 2\pi/\lambda$ , где  $c$  – скорость света в вакууме,  $n_0$  – показатель преломления в областях  $z < -L/2$  и  $L/2 < z$ ) через одномерную решетку с длиной  $L$  и периодом  $d$  и с пространственной модуляцией показателя преломления  $n(z)$  вдоль оси  $z$ .

$$n(z) = n_{eff} + \Delta n(z) \cos(2\pi z/d), \quad -L/2 < z < L/2. \quad (1)$$

Здесь  $n_{eff} \approx n_0$  – эффективный показатель преломления волновода в области решетки,  $\Delta n(z)$  – медленно меняющаяся на расстояниях порядка  $d$  амплитуда решетки.

Для нахождения коэффициентов отражения и пропускания электромагнитной волны при ее взаимодействии с решеткой воспользуемся моделью связанных волн [14, 19]. Эта модель описывает эволюцию комплексных амплитуд двух брэгговских волн, распространяющихся в волноводе в положительном и отрицательном направлениях вдоль оси  $z$  в области  $-L/2 < z < L/2$  и взаимодействующих между собой за счет отражения от решетки:

$$\begin{aligned} \frac{dA^+(z)}{dz} - i\delta A^+(z) &= i\kappa(z)A^-(z), \\ \frac{dA^-(z)}{dz} + i\delta A^-(z) &= -i\kappa(z)A^+(z), \end{aligned} \quad (2)$$

где  $\kappa(z) = k\Delta n(z)/2$  – пространственно-модулированный коэффициент связи;  $\delta = kn_{eff} - \pi/d$  – параметр, характеризующий отстройку длины волны  $\lambda$  от брэгговской длины волны  $\lambda_{Br} = 2dn_{eff}$ . Система связанных волн (2) справедлива при выполнении условий  $\Delta n(z) \ll n_{eff}$  и  $\delta \ll kn_{eff}$ .

Аналитическое решение системы (2) для произвольной формы модуляции коэффициента связи  $\kappa(z)$  и при произвольной отстройке от брэгговского резонанса  $\delta$  неизвестно. Однако в случае точного резонанса, когда  $\delta = 0$ , принимая во внимание условия сшивки электрического и магнитного полей на границах решетки  $z = \pm L/2$ , удается получить строгие аналитические выражения для коэффициентов отражения и пропускания по мощности при произвольном  $\kappa(z)$  [20]:

$$R(\lambda_{Br}) = 1 - T(\lambda_{Br}) = \operatorname{th}^2 \left( \int_{-L/2}^{L/2} \kappa(z) dz \right). \quad (3)$$

Учитывая, что при записи решетки гауссовым пучком лазера коэффициент связи имеет форму

$$\kappa(z) = \frac{1}{2} k \Delta n \exp \left[ -\frac{z^2}{(w/\cos\theta)^2} \right], \quad (4)$$

где  $2w$  – диаметр лазерного пучка;  $\theta$  – угол падения, из (3) находим

$$\begin{aligned} R(\lambda_{Br}) &= \operatorname{th}^2 \left\{ \frac{k \Delta n}{2} \int_{-\infty}^{\infty} \exp \left[ -\frac{z^2}{(w/\cos\theta)^2} \right] dz \right\} \\ &= \operatorname{th}^2 \left( \frac{\sqrt{\pi} \Delta n}{2} kw/\cos\theta \right). \end{aligned} \quad (5)$$

Принимая во внимание, что  $R(\lambda_{Br}) \approx 0.98$  (см. рис.4),  $\lambda \approx 1.56$  мкм и  $2w/\cos\theta \approx 4$  мм, из формулы (5) получаем оценку:  $\Delta n \approx 3.7 \times 10^{-4}$ . Теоретически рассчитанные зависимости  $R(\lambda)$  и  $T(\lambda)$ , полученные с использованием модели связанных волн (2) при гауссовой форме коэффициента связи (4) и  $\Delta n = 3.5 \times 10^{-4}$ ,  $2w/\cos\theta = 4.2$  мм,  $\lambda_{Br} = 1.5598$  мкм, показаны на рис.4 светлыми кружками. Видно, что в области брэгговского резонанса имеет место хорошее согласие между экспериментальными и

теоретическими данными, что подтверждает справедливость сделанной оценки.

## 5. Заключение

Созданы узкополосные частотно-селективные фильтры для телекоммуникационного диапазона длин волн вблизи 1.5 мкм, включающие одномодовый полимерный волновод с записанной в нем субмикронной решеткой показателя преломления. Фильтры имеют коэффициент отражения  $R > 98\%$  и близкую к прямоугольной форму полосы отражения шириной  $\Delta\lambda \approx 0.4$  нм. Дальнейшее увеличение  $R$  и расширение  $\Delta\lambda$  может быть достигнуто путем увеличения коэффициента связи, например за счет увеличения амплитуды  $\Delta n$  решетки. Созданные фильтры могут быть использованы в качестве элементов оптических мультиплексоров/демультиплексоров для объединения и разделения сигналов в высокоскоростных ВОЛС с многоволновым уплотнением каналов.

1. Bennion I., Reid D.C.J., Rowe C.J., Stewart W.J. *Electron. Lett.*, **22**, 341 (1986).
2. Свахин А.С., Сычугов В.А. *ЖТФ*, **57**, 1191 (1987).
3. Sorin W.V., Zorabedian P., Newton S.A. *J. Lightwave Technol.*, **5**, 1199 (1987).
4. Lin X.-Z., Zhang Y., An H.-L., Liu H.-D. *Electron. Lett.*, **30**, 887 (1994).
5. Соколов В.И., Худобенко А.И. *Квантовая электроника*, **33**, 545 (2003).
6. Wong V.V., Ferrera J., Damask J.N., Murphy T.E., Smith H.I., Haus H.A. *J. Vac. Sci. Technol. B*, **13**, 2859 (1995).
7. Mizrahi V., Sipe J.E. *J. Lightwave Technol.*, **11**, 1513 (1993).
8. Bakhti F., Sansonetti P. *J. Lightwave Technol.*, **15**, 1433 (1997).
9. Васильев С.А., Медведков О.И., Королев И.Г., Божков А.С., Курков А.С., Дианов Е.М. *Квантовая электроника*, **35**, 1085 (2005).
10. Абдуллина С.Р., Бабин С.А., Власов А.А., Каблуков С.И. *Квантовая электроника*, **36**, 966 (2006).
11. Eldada L. *Opt. Eng.*, **40**, 1165 (2001).
12. Wang W.C., Fisher M., Yacoubian A., Menders J. *IEEE Photon. Technol. Lett.*, **15**, 548 (2003).
13. Sokolov V.I., Mishakov G.V., Panchenko V.Ya., Tsvetkov M.Yu. *Opt. Memory and Neural Networks (Inform. Opt.)*, **16**, 67 (2007).
14. Erdogan T. *J. Lightwave Technol.*, **15**, 1277 (1997).
15. Groh W. *Macromol. Chem.*, **189**, 2861 (1998).
16. Zhou M. *Opt. Eng.*, **41**, 1631 (2002).
17. Соколов В.И., Панченко В.Я. В сб.: *Пути Ученого. Е.П. Велихов* (М.: РНЦ «Курчатовский институт», 2007).
18. Семиногов В.Н., Панченко В.Я., Худобенко А.И. *ЖЭТФ*, **111**, 174 (1997).
19. Haus H.A., Shank C.V. *IEEE J. Quantum Electron.*, **12**, 532 (1976).
20. Семиногов В.Н., Соколов В.И., Панченко В.Я. *Радиотехника и электроника*, **51**, 1 (2006).